

Galaxies et amas de galaxies comme lentilles gravitationnelles

Raphaël Gavazzi

28 janvier 2019

INSTITUT D'ASTROPHYSIQUE DE PARIS

Unité mixte de recherche 7095



CNRS - Sorbonne Université

Sommaire

1 Introduction

2 Observations

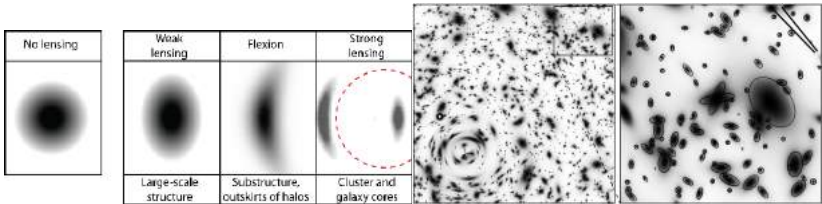
3 Simulations

4 Halos de matière noire

5 Conclusion

Optique gravitationnelle

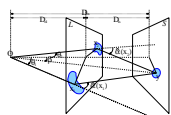
Ses différentes manifestations



Optique gravitationnelle

Quelques bases

Equation des lentilles : plan image \rightarrow plan source



$$\vec{\beta} = \vec{\theta} - \vec{\alpha} \equiv \vec{\theta} - \vec{\nabla} \psi(\vec{\theta})$$

Angle de déflexion lié au potentiel gravitationnel Φ ,

$$\hat{\alpha} = \frac{2}{c^2} \int \nabla_{\perp} \Phi \, dl \xrightarrow{\text{pt mass}} \frac{4GM}{c^2} \frac{\vec{\theta}}{|\vec{\theta}|^2}$$

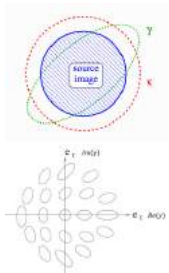
$$\psi(\vec{\theta}) = \frac{2}{c^2} \frac{D_{ls} D_{ol}}{D_{os}} \phi(\vec{\theta})$$

Déflexions \rightarrow masse requiert distances !

Localement, déformations : $d\beta_i = \mathcal{A}_{ij} d\theta_j$

$$\mathcal{A}_{ij} = \frac{\partial \vec{\beta}}{\partial \vec{\theta}} = (\delta_{ij} - \psi_{,ij}) \equiv \begin{pmatrix} 1 - \kappa - \gamma_1 & -\gamma_2 \\ -\gamma_2 & 1 - \kappa + \gamma_1 \end{pmatrix}$$

$$\gamma = \gamma_1 + i\gamma_2$$



Applications

Sonde privilégiée pour sonder la matière noire

Abordé ici

- Profil de densité des halos (galaxies et amas) et nature de matière noire
- Relation M_* ("proxy") et M_{halo}
- Cartographie de la masse projetée (convergence)

Mais aussi...

- Distribution masse à grande échelle (cisaillement cosmique)...
la prochaine fois !
- Les sous-structures (sombres) (aka satellites manquants)
- Décalages temporels et mesures de H_0
- μ -lensing : exo-planètes et structure des quasars.

Sommaire

1 Introduction

2 Observations

- Données
- Morphométrie

3 Simulations

4 Halos de matière noire

5 Conclusion

Observations

Actuel

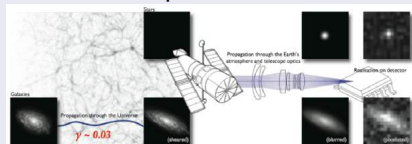


Futur

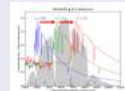
Projets **Euclid**, LSST, WFIRST

Analyse statistique

morphométrie :



Redshifts photométriques :



événements rares :



Grands relevés

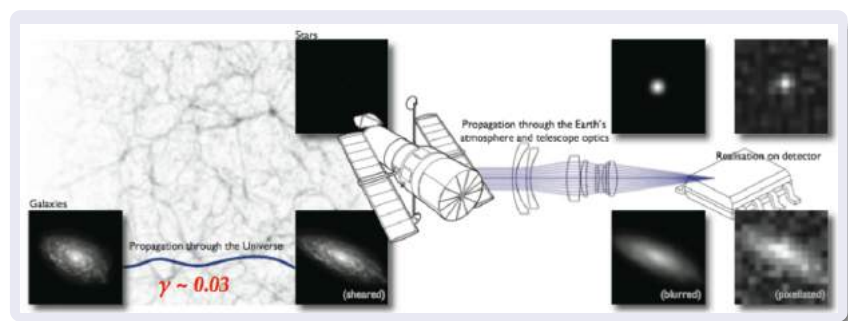
toujours plus large, toujours plus profond...

Pour vaincre le bruit sur signaux faibles, sonder des échelles toujours plus grandes et des structures plus lointaines et détecter des événements rares.

Survey	Date	Area [deg ²]	n_{gal} [arcmin ⁻²]
CFHTLenS	2003-2007	170	14
DLS	2001-2006	25	20
COSMOS	2005	1.6	80
SDSS	2000-2012	11,000	2
KiDS	2011-	1,500	7-8
HSC	2015-	1,500	~ 20
DES	2012-2018	5,000	5-6
LSST	2021-	15,000	~ 20
Euclid	2021-2026	15,000	~ 25
WFIRST-AFTA	2024-	2,500	?

Morphométrie

Pas de cisaillement sans ellipticités propres



Morphométrie

Résultats qualitatifs

- Méthode KSB basée sur les moments de la brillance de surface des sources : très rapide mais peu stable
- **Améliorations** : ~~Adaptive~~ approche *forward-model* supposant une forme analytique simple du profil (SExtractor & PSFEx, Bertin 2010). Rapide et robuste.

http://amalgam.iap.fr/wordpress/?page_id=147



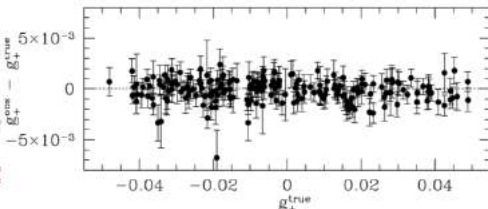
Morphométrie

Résultats quantitatifs : Challenge GREAT3



[Home](#) [Get Data](#) [Overall Leaderboard](#) [Archived Challenge](#)

The Great-3 challenge is now complete and the winners decided. We deactivated the post-challenge leaderboards, so no more submissions can be



Overall Leaderboard

Name	Notes	Score	Number of entries
sFIT	Modified CLS stackfit algorithm	80001	162
Amalgam@IAP	Some fellows developing software based around SExtractor and PSFEx for real-life shape measurements.	80000	215
CEA-EPFL	The team wants to investigate if we could improve shear estimation by combining gfit with sparse representation methods.	72000	340
MegaLUT	Evolutions of the MegaLUT technique : how far can we go with SExtractor + Machine Learning ?	52000	234
Fourier_Quad	Our team uses the quadrupole moments of the spectral density of galaxy images in Fourier space to measure shear.	32000	36
EPFL_gfit	Using the gfit shear measurement method, testing how far one can go by using forward model fitting + new approaches for bias minimization	24000	124

- $\gamma - \gamma_{\text{true}} = m\gamma_{\text{true}} + c$. Simulations simples !
- $m \sim 3 \times 10^{-3}$ et $c \sim 3 \times 10^{-4}$ (c aligné avec γ_{PSF}).
- Satisfaisant pour ~ 100 amas dès lors que SNR $\nu \gtrsim 15$.
- Proche des $|m| < 10^{-3}$ et $|c| < 10^{-4}$ pour *Euclid, LSST*.

Sommaire

1 Introduction

2 Observations

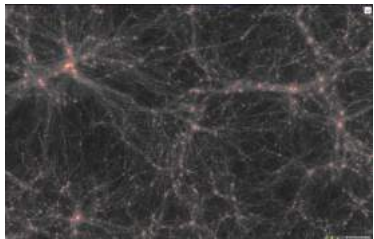
3 Simulations

4 Halos de matière noire

5 Conclusion

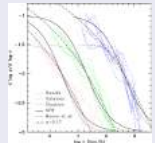
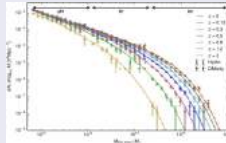
Simulations cosmologiques

Matière noire pure : évolution non linéaire des structures



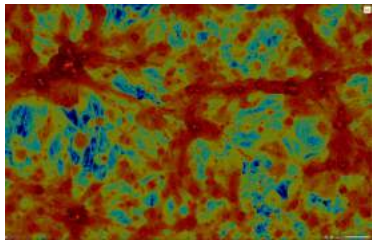
Halos de matière noire

Fonction de masse, profil de densité, forme des halos



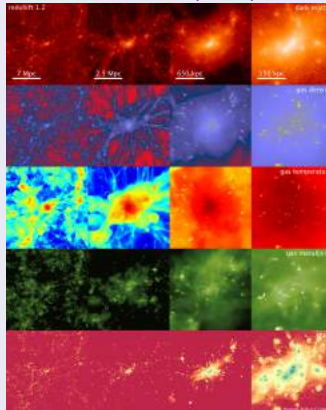
Simulations hydrodynamiques cosmologiques

Gastrophysique !



DM, gaz et étoiles

Simulation Horizon-AGN (Dubois)



Tracé de rayons dans la simulation Horizon-AGN

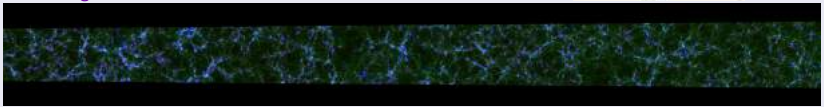
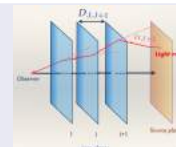
Effets des baryons sur les observables lensing

D'intérêt cosmologique :

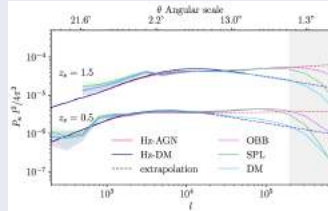
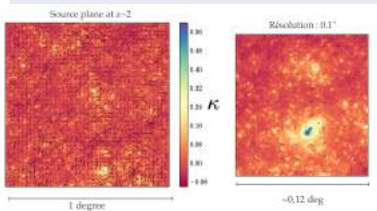
$$L = 100 \text{ Mpc}, \delta_x = 1 \text{ kpc}$$

Bon compromis taille/résolution

Gouin, Laigle, Dubois, Codis, Pichon, Devriendt...



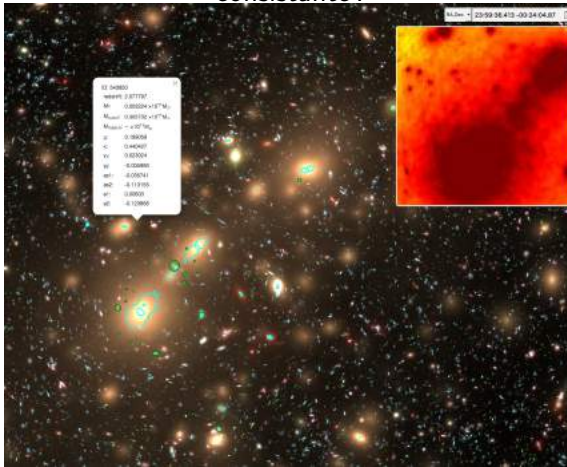
Résultats



Tracé de rayons dans la simulation Horizon-AGN

Images lentillées (\rightarrow "End-to-End")

Lumière émise par les étoiles des galaxies est défléchie de manière consistante !



Sommaire

1 Introduction

2 Observations

3 Simulations

4 Halos de matière noire

- Enjeux
- Modélisation
- Galaxies
- Amas

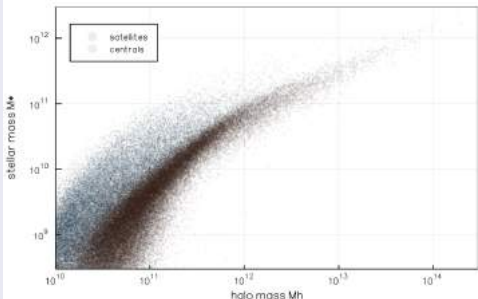
5 Conclusion

Les halos de matière noire

Relation halo hôte et galaxies $M_* - M_{\text{halo}}$

Théorie vs Observations

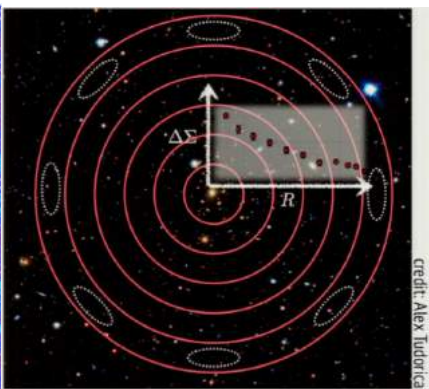
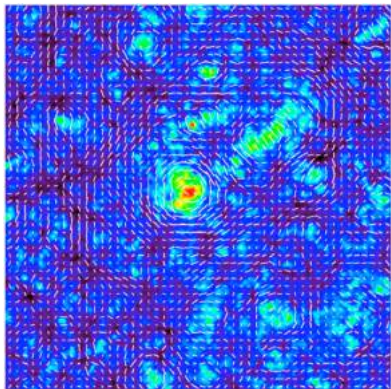
- Simulations : $\Lambda\text{CDM} \xrightarrow{\text{N-body}} M_{\text{halo}} \xrightarrow{\text{hydro}} M_* \rightarrow L$
- Observations : $F \xrightarrow{z} L \rightarrow M_* \xrightarrow{\text{lensing, (HOD)}} M_{\text{halo}}$
- Lentilles donnent $p(M_{\text{h}}, \dots | M_*, \dots)$



Horizon-AGN

Modélisation

Weak lensing : des ellipticités à la distribution de masse



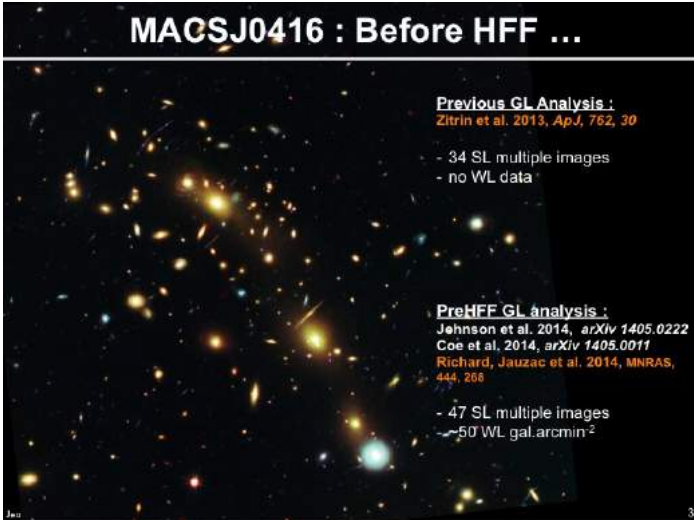
credit: Alex Tudorica

$$\kappa(\vec{\theta}) = \int_{\mathbb{R}^2} K(\vec{\theta} - \vec{\vartheta})^* \gamma(\vec{\vartheta}) d^2 \vec{\vartheta} \quad \text{avec} \quad K(\vec{\theta}) = \frac{-1}{\pi(\theta_1 - i\theta_2)^2}$$

Modélisation

Images multiples au cœur des amas

MACSJ0416 : Before HFF ...



Modélisation

Images multiples au cœur des amas

MACSJ0416 : ... After HFF !!!

Jauzac et al. 2014a, *MNRAS*, 443, 1549
Jauzac et al. 2014b, *arXiv*, 1406.3011

194 multiple images
~100 WL gal.arcmin⁻²



MACSJ0416:
the MOST constrained
lensing cluster to date !!!

Modélisation

Images multiples au cœur des amas

Multiple Images in MACSJ0416



SL-only analysis

Jauzac et al. 2014, MNRAS, 443, 1549

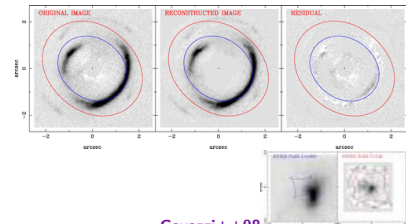
Best-fit parametric mass model
(LENSTOOL):

- 194 multiple images
- 2 DM clumps
- 98 cluster galaxies
- RMS = 0.68''

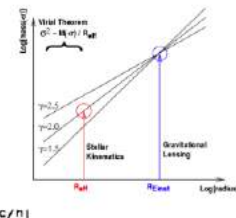
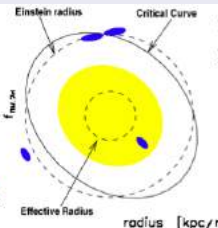
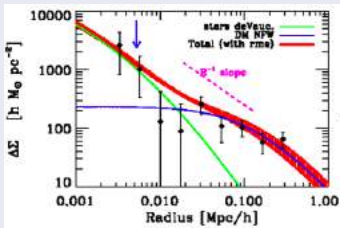
- Elongated mass distribution NE-SW
1. Typical for galaxy mergers
 2. Reason for so many multiple images

Modélisation

Ajustement bayesien de potentiels paramétriques



Addition WL (et équ. de Jeans) possible



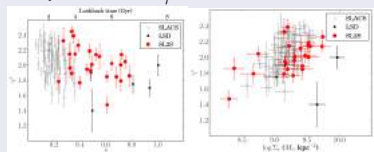
Pente du profil de densité totale

Combinaison SL et cinématique stellaire dans R_{eff}

Données SLACS+SL2S

$$\gamma' = \frac{d \log \rho_{\text{tot}}}{d \log r} \sim 2.08 \pm 0.02$$

$$\text{Dispersion } \sigma_{\gamma'} = 0.12 \pm 0.02$$

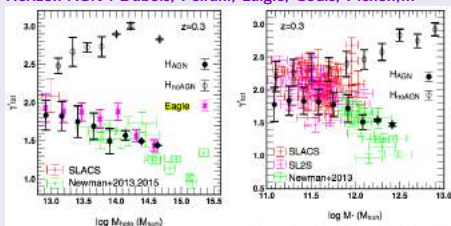


Modeste évolution en redshift
 $d\gamma'/dz = 0.10 \pm 0.12$ (au moins depuis $z \sim 0.8$)

Simulations hydro RAMSES@IAP

Excellent accord si feedback AGN

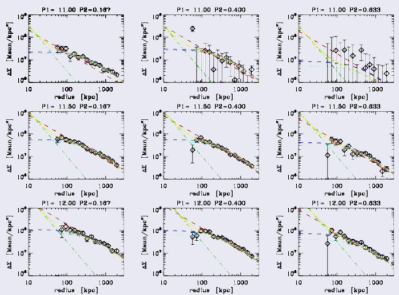
Horizon-AGN : Dubois, Peirani, Laigle, Codis, Pichon,...



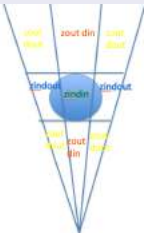
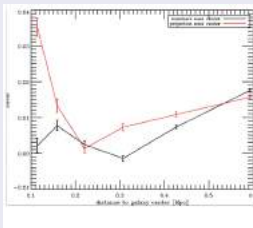
Relation Masse stellaire – Masse du Halo

Galaxy-Galaxy lensing

Galaxies de champ CFHT



Galaxies d'amas

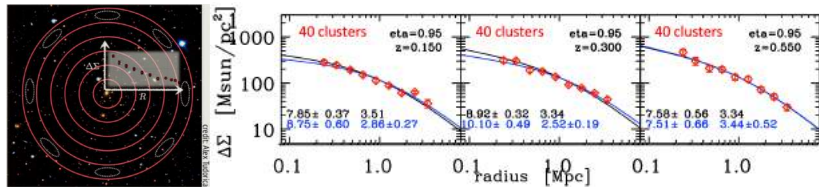


~ 80% de la masse *stripped*

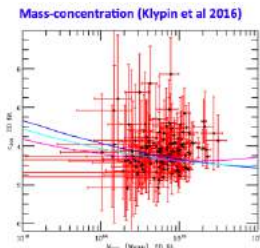
Projet AMALGAM

120 amas à $0.1 \leq z \leq 0.7$

$$\text{Contraste de densité } \Delta\Sigma(R) = \frac{M(<R)}{\pi R^2} - \Sigma(R) \propto \gamma_t(R)$$



- Masse typique $M_{200c} \sim 8 \times 10^{14} M_\odot$
- haut rapport SNR (3%) sur le profil moyen (1-12 par amas)
- Relation masse concentration OK



Sommaire

- 1 Introduction
- 2 Observations
- 3 Simulations
- 4 Halos de matière noire
- 5 Conclusion

Conclusion

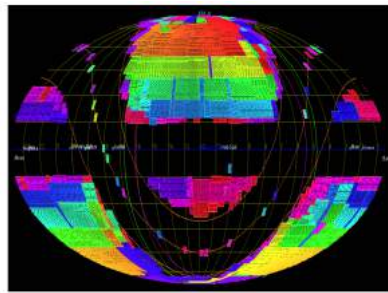
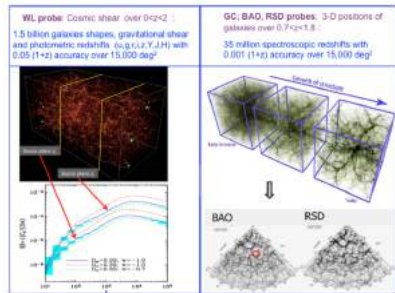
- Bilan détaillé de la masse autour des galaxies et amas
- Perspective d'avoir la masse des amas à quelques %
- Centre halos compatible NFW, \exists possibilité cœur ($\lesssim 20$ kpc)
- Intrication DM, baryons, requiert combinaison : SL, WL
(+dynamique, SZ, X)
- Simulations Hydro prédisent la bonne relation $M_* - M_{\text{halo}}$

Cisaillement cosmique

- contraintes fortes sur quantité matière noire Ω_m (et σ_8).
- Sonde unique énergie noire (expansion).

Conclusion

La mission Euclid



	SURVEYS			
	Area (deg^2)	Description		
Wide Survey	15,000 deg^2			Step and stare with 4 différant pointing per step.
Deep Survey	40 deg^2			In at least 2 patches of $> 10 \text{ deg}^2$ 2 magnitudes deeper than wide survey
Wavelength range	550–900 nm	Y (920– 1140nm), J (1140–1372 nm)	H (1372– 2000nm)	1180–2000 nm
Sensitivity	24.5 mag 10 ⁸ extended source	24 mag 50 point source source	24 mag 50 point source source	$3 \cdot 10^{-16} \text{ erg cm}^{-2} \text{s}^{-1}$ 1.5x10 ⁹ galaxies $z < 0.1$ to 10 ⁹ galaxies